

カラー三次元物体の反射・透過モデル に関する基礎的検討

横井茂樹 伊藤秀幸 鶴岡信治 三宅康二
(三重大学 工学部)

1. まえがき

最近ラスター型GD装置の普及に伴い、物体の陰影画表示技術に対する要求が高まっている。物体を陰影画表示するためには、物体のモデリング、境界面消去、投影変換などに加えて、物体表面の陰影付与(シェーディング)技術が一つの重要な問題となる。

物体表面でのシェーディング技術の開発のためには、物体表面での光の反射・透過・屈折等をモデル化する必要がある、これらのモデル化に関しては従来いくつかの提案がある。

本研究では、既に提案されたモデルを基にして、以下の三つの項目について検討を加えた。

- ① カラー物体のハイライト付与方式の検討
(Phongの拡散反射、鏡面反射(ハイライト)モデル⁽¹⁾に基づく)
- ② 半透明物体の表示方式の検討
(Newellの手法⁽²⁾とKay⁽³⁾による透明感強調法⁽⁴⁾に基づく)
- ③ 金属材料質感の表現手法の検討
(Blinnのモデル⁽⁵⁾を拡張したCookのモデル⁽⁵⁾に基づく)

本文では、これらのモデルから実際に三成分値(R, G, B)を計算する方式を導くとともに、良好な表示像を得るためのいくつかの修正モデルを提案する。

2. カラー物体のハイライト付与に関する検討

通常の不透明な物体の表面での光の反射は、拡散反射と鏡面反射に分けられる。このモデルとして Phong は次式を提案した。

$$S(\lambda) = C(\lambda) [d + (1-d)\cos\theta] I(\lambda) + W(\theta)(\cos\alpha)^n I(\lambda) \quad (1)$$

但し、

- $S(\lambda)$: 目に入る光のスペクトル (λ : 波長)
- θ : 入射角度
- d : 指数 (環境中の光による拡散反射の係数)
- $W(\theta)$: 鏡面反射光と入射光の比 (入射角の一関数)
- α : 視線と反射光の間の角度
- n : 各材質に対する鏡面反射光をモデル化するべき乗係数
- $I(\lambda)$: 入射光のスペクトル
- $C(\lambda)$: ある波長での物体の反射係数

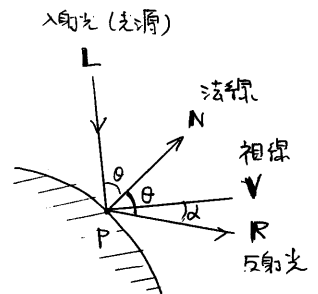


図1 物体表面での反射

上記モデルから三原色(R, G, B)の計算式を導く。

R-G-B表色系の各色関数を $\bar{r}(\lambda)$, $\bar{g}(\lambda)$, $\bar{b}(\lambda)$ とすると、三成分値(R, G, B)は以下のように計算される。

$$R = \int F(\lambda) S(\lambda) d\lambda$$

$$G = \int \bar{g}(\lambda) S(\lambda) d\lambda$$

$$B = \int \bar{b}(\lambda) S(\lambda) d\lambda$$

$S(\lambda)$ (式(1)) E代入して,

$$R = [d + (1-d) \cos \theta] \int F(\lambda) C(\lambda) I(\lambda) d\lambda + W(\theta) (\cos \alpha)^m \int \bar{r}(\lambda) I(\lambda) d\lambda$$

$$G = [d + (1-d) \cos \theta] \int \bar{g}(\lambda) C(\lambda) I(\lambda) d\lambda + W(\theta) (\cos \alpha)^m \int \bar{g}(\lambda) I(\lambda) d\lambda$$

$$B = [d + (1-d) \cos \theta] \int \bar{b}(\lambda) C(\lambda) I(\lambda) d\lambda + W(\theta) (\cos \alpha)^m \int \bar{b}(\lambda) I(\lambda) d\lambda$$

=より、

$$C = (R, G, B) = [d + (1-d) \cos \theta] C_0 + W(\theta) (\cos \alpha)^m C_s \quad (2)$$

但し, $C_s = (R_s, G_s, B_s)$: 光源の色 $R_s = \int F(\lambda) I(\lambda) d\lambda$, G_s, B_s も同様

$C_0 = (R_0, G_0, B_0)$: 物体に上へ光源が照らす色 : $R_0 = \int F(\lambda) C(\lambda) I(\lambda) d\lambda$
 G_0, B_0 も同様

Phongのモデルから、上式が導かれるが、通常光源は白色光源と仮定するので、 C_s は白色となり、 C_0 は物体の反射特性 $C(\lambda)$ により定められた物体の固有の色を表す。上式によれば、物体表面の色は主として第一項(拡散反射光)により定められ、ハイライトの成分は第二項が加わったため、白色と混ぜ合わされた色になる。こゝで、実際にGD画面上で物体を表示するときGDで表示可能な (R, G, B) 成分値は限られている。単に上式を用いるとハイライトの中心でGDで表示可能な色(3成分値)を越えた値になる可能性がある。すなわち、 C_0 が異なる、ハイライトの中心でも色が異なる。ハイライト係を顕著にするためには、常にハイライトの中心で白色(最高輝度の色)にするのが望ましいと考えられるので、本文では次の式を提案する。

$$C = C_1 + W(\cos \alpha)^m (C_{max} - C_1), \quad C_1 = [d + (1-d) \cos \theta] C_0 \quad (3)$$

但し, $C_{max} = (R_{max}, G_{max}, B_{max})$ ($R_{max} = G_{max} = B_{max} = M$) はGDの最高輝度の色であり、こゝで、(2)式中の係数 $W(\theta)$ は θ の関数となり、 $\theta = 0$ に依存しないとしてもよいほど大きな影響を与えると考えられることから、 $W(\theta) = W$ (一定) とした。(但し, $0 \leq W \leq 1$)

式(3)において、 $W = 1$ の場合は

ハイライトの中心 ($\cos \alpha = 1$ とする) : $C = C_{max}$
 (最高輝度の色: 白色)

ハイライトからはずれた部分 ($\cos \alpha = 0$) : $C = [d + (1-d) \cos \theta] C_0$
 (拡散反射光)

結局、拡散反射により定められた物体の色の中に、白色のハイライトが加わることになる。つまり、 W はハイライトの輝度、 m はハイライトの大きさを表すパラ

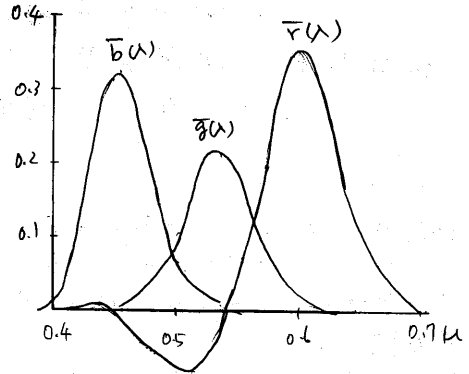


図2 R-G-B 表色系の
 表色関数

$x-y$ とする。

具体的に GD 上に表示する場合、 C を正規化したものを求めた後、 C のみ全体を $M (= R_{max} = G_{max} = B_{max})$ で割って、次式を得る。

$$\bar{C} = \bar{C}_1 + w(\cos \alpha)^m (1 - \bar{C}_1), \quad \bar{C}_1 = [d + (1-d) \cos \theta] \bar{C}_0 \quad (4)$$

但し、 $\bar{C}_0 = (\bar{R}_0, \bar{G}_0, \bar{B}_0)$ ($0 \leq \bar{R}_0, \bar{G}_0, \bar{B}_0 \leq 1$) は物体固有の色

$\mathbf{1} = (1, 1, 1)$ は白色

$C = (R, G, B)$ は表面の色で、 $0 \leq R, G, B \leq 1$ として求められるが、実際に表示可能な色成分 N レベルに占有する装置では、 n に N をかけてやるほうがよい。

式(4)に基いて2球を表示し、パラメータ w, m を変化させて影線を用いた(図5, 6)を図るが、 d は指向光による拡散反射を表現するものとして導入されたので、式(4)で求めたように、物体表面の色も、光源方向に依存せず、物体に一定の色を与える効果をもつ。本研究ではすべて $d = 0.5$ として表示したが、 $d = 0 \sim 0.2$ 程度の色の表面の濃淡の変化が強調されてよいかもしれない。

n の値は $10 \sim 20$ くらいが適当と思われる。

3. 半透明物体の表示法に関する検討

半透明な物体を表示する簡単な方法として、Newell⁽²⁾の提案がある。これは次の式による。物体上の1点を見たときの色

$C = (R, G, B)$ は、

$$C = (1-t) C_B + t C_t \quad (5)$$

但し、 C_t は半透明物体表面の色、 C_B は半透明物体の背後にある物体表面の色である。また、 t は半透明物体の透明度を表わす ($t = 1$: 不透明, $t = 0$: 透明)。

上式は、半透明物体の透明度と表面の方向によらず一定にしてほしかったが、実際の半透明物体に近い感じにするには、視線方向と向く面を透明度と上げ、視線に対して、面の方向が垂直に近くなるほど不透明にするのが良いと考えられ、これは対して、Kay⁽³⁾は、次のような方法を提案している。

$$t = t_n (1 - \cos \beta)^{t_p} \quad (6)$$

但し、 t_n : 透明度 ($0 < t_n < 1$)

β : 視線と法線の間の角度

t_p : 強調の程度を示すパラメータ ($0 < t_p$)

(t_p が大きくなるほど、 β と β との差分が透明になる)

ここで、2. で導いた表面の色の計算式を利用する(式(3))

$$C = (1-t) C_B + t [d + (1-d) \cos \theta] C_0 + t w (\cos \alpha)^m (C_{max} - C_0)$$

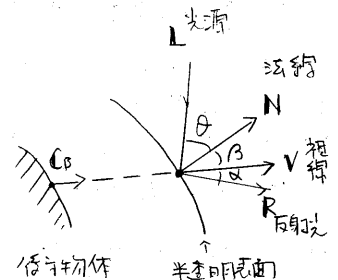


図3. 半透明物体の表示

上の式は、 α = 1 項の透過光, $\alpha = 2$ 項の拡散反射光, $\alpha = 3$ 項の鏡面反射光を表わす。上式を直接利用すると、 $\alpha = 3$ 項のハイライト (鏡面反射光) が t をかけた分散輝度のみで表わされる。よって、パラメータ式 (6) を用いて空洞効果をもつと、これと同じように 0 に近くなる。これを防ぐために、2. で述べた方法と同様にし、ハイライトの中心が白色 (最高輝度の色) にする。

すなわち、

$$C = C_1 + w(\cos \theta)^m (C_{max} - C_1), \quad C_1 = (1-t)C_B + t[d + (1-d)\cos \theta]C_0 \quad (7)$$

上式を正規化する (全体を M で割る)

$$\bar{C} = \bar{C}_1 + w(\cos \theta)^m (1 - \bar{C}_1), \quad \bar{C}_1 = (1-t)\bar{C}_B + t[d + (1-d)\cos \theta]\bar{C}_0 \quad (8)$$

但し、 $\mathbf{1} = (1, 1, 1)$, \bar{C}_B は待テの物体の色 (正規化), $\bar{C}_0 = (\bar{R}_0, \bar{G}_0, \bar{B}_0)$ は、半透明物体の色 ($0 \leq \bar{R}_0, \bar{G}_0, \bar{B}_0 \leq 1$), w はハイライトの輝度 ($0 \leq w \leq 1$, 普通は 1)

なお、 \bar{C}_0 は 2. で述べた方法 (式 (2)) で半透明物体の待テの物体の色を求めればよい。

本方法により球形の物体の合成図を求めたのが図 7 ~ 9 である。

なお、透明度空洞のパラメータは $t_u = 0.5 \sim 0.9$, $t_p = 1$ 前後 ($0 < t_p < 2$) が良い表現を得た。

3. 金属材料感の表示

金属表面での光の反射モデルには、Blinn のモデルが提案されていいるが、これはさらに厳密に一般化したものとして Cook のモデルがある。以下にこのモデルを示す。反射光 (目に入ってきた) のスペクトルを $S(\lambda)$ とすると、

$$S(\lambda) = I_a(\lambda) R_a(\lambda) + \sum_{e=1}^k I_e(\lambda) R_s(\lambda) \quad (9)$$

- 但し、 $I_a(\lambda)$: 背景光のスペクトル
- $R_a(\lambda)$: 背景光に対する反射係数
- $I_e(\lambda)$: e 番目の光源のスペクトル
- $R_s(\lambda)$: 物体 (金属) の鏡面反射係数

$$R_s(\lambda) = \frac{F(\lambda, \theta)}{\pi} \cdot \frac{D(\lambda) - G_e}{(N \cdot V)} \quad (10)$$

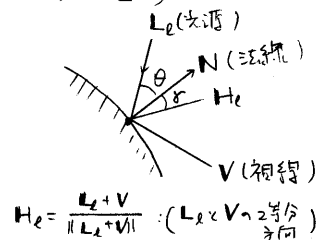


図 4 金属表面での反射

式 (10) の、表面が微小面の方位からできていいるというモデルに基づいて、考慮されたものであり、各々の項についての説明は文献 (4) より付録に示して置く。

Cook のモデルはより一般的に材料を扱うため拡散反射の項も含めて表わされているが、ここでは金属材料のみを限定するため、鏡面反射の項のみを考慮した。(金属表面では拡散反射は考えない)

以下で、式 (9) から三原色 (R, G, B) を計算する式を導出したが、計算を単純化するために、いくつかの仮定を置く。

- ① $I_a(\lambda) = d I_w(\lambda)$ ($d \ll 1$), ($I_w(\lambda)$ は白色光源)
- ② $I_e(\lambda) = a_e I_{w_e}(\lambda)$ (a_e は、主光源の 1 以下, 副光源は 1 以下)
- ③ $F(\lambda, \theta) = F(\lambda, 0) = R(\lambda)$ ($R(\lambda)$ は表面に垂直に光が入射したときの反射スペクトル)
- ④ $R_a(\lambda) = R(\lambda)$

2. で導いたと同様にして、 \equiv 成分値が求まる。

$$C = (R, G, B) = d C_0 + \sum_{\ell=1}^k a_{\ell} \frac{D(\alpha_{\ell}) G_{\ell}}{\pi (N \cdot V)} C_0 \quad (11)$$

これを正規化して(全体を $\frac{M}{M}$ ($M = R_{max} = G_{max} = B_{max}$) で割って),

$$C = (\bar{R}, \bar{G}, \bar{B}) = \left\{ d + \sum_{\ell=1}^k a_{\ell} \frac{D(\alpha_{\ell}) \cdot G_{\ell}}{(N \cdot V)} \right\} \bar{C}_0 \quad (12)$$

但し, $\bar{C}_0 = (\bar{R}_0, \bar{G}_0, \bar{B}_0)$ は金属物体の色 ($0 \leq \bar{R}_0, \bar{G}_0, \bar{B}_0 \leq 1$), d は背景光の強度 ($d < 1$) であり,

$$D(\alpha_{\ell}) = \sum_{j=1}^2 w_j \delta(m_j, \alpha_{\ell}), \quad \delta(m, d) = \frac{1}{m^2 \cos^4 d} e^{-\left\{ \frac{\tan^2 d}{m^2} \right\}} \quad (13)$$

ここで, $\bar{R}, \bar{G}, \bar{B}$ の輝度を定めたときだけ南<すするためには, 主光源によって定まる鏡面反射の中心で, ほぼ \bar{C}_0 に等しくなることを要する。

鏡面反射の中心では, $\alpha_{\ell} = 0$ となり, $G_{\ell} / (N \cdot V) \equiv 1$ と考えられ,

$$d + D(0) \equiv 1,$$

を満足せよ。つまり

$$\frac{w_1^2}{m_1^2} + \frac{w_2^2}{m_2^2} \equiv (1-d) \quad (14)$$

を満足するよう (w_1, m_1, w_2, m_2) の組を定めた。式(14)を満たすバリエーションの組は多<の組合せがあるが, 本文では表示符号を見て実験的に定めた。

ここで, 色は主光源の位置が無制限にあるとして議論をするためであるが, 光源が物体に近づくとき, 鏡面反射が中心からずれるに伴い減衰が大きくなることを明らかにするから, この効果を $D(\alpha_{\ell})$ 項に含ませて考え, 主光源と副光源で D のバリエーション (w_1, m_1, w_2, m_2) を変えてもよい。

以上では, 金属材料質感の表示を, Cookらのモデルに基づいて導いたが, 色はもう少し簡単な方法で行うことを検討する。

式(11)において, 光源ベクトルと視線ベクトルの方向が一致するときだけ分離して考えること(色はこの方向の角度が 90° 以内の角度), G_{ℓ} , $(N \cdot V)$ の項を色はほとんど変わらない(ほぼ1に等しい)と考えられるので, $D(\alpha)$ の項を, 2章で示した Phong の方法と同様にして, 余弦関数のベテールで表わすことに試みた。つまり,

$$\bar{C} = \left\{ d + \sum_{\ell=1}^k a_{\ell} (N \cdot H_{\ell})^{n_{\ell}} \right\} \bar{C}_0 \quad (H_{\ell} = \frac{V + L_{\ell}}{\|V + L_{\ell}\|}) \quad (15)$$

但し, 主光源では $a_{\ell} = 1$, 副光源では $a_{\ell} < 1$, n_{ℓ} は主光源と副光源で変えてもいい。上式を用いて, バリエーション a_{ℓ} , n_{ℓ} を調整することにより, 式(11)のモデルによる表示結果に近づけたことを試みた(d は同じとした)。表示結果は図12に示すが, この方法でもほぼ類似した表示例が得られたが, 表面の輝度の印象は若干異なる。図11のオパール輝きがあるように感じられた。この点についての検討は今後行う予定であるが, とくに厳密な電算が行われるのは式(15)を用いて, 満足な結果が得られると考えられる。

なお, 余弦関数の角度のとり方として, 2章の Phong のモデルと全く同じように, 反射光 R と視線 V の間の角度を用いた方法も考えられる。

つまり, 以下の式を用いた方法である。

$$\bar{C} = \left\{ d + \sum_{l=1}^k a_l (R_l \cdot V)^{n_l} \right\} \bar{C} \quad \left(\frac{R_l + L_l}{\|R_l + L_l\|} = N \right) \quad (16)$$

この方法でも、表示を試みても、パラメータ a_l , n_l を変化させても、表面の鏡面反射の応答が制限され、良い表示係が得られるから、これは、簡単な計算の結果、 L_l, N, V の同一平面上にあるとき、 $\cos \theta = (N \cdot H_l)$, $\cos \alpha = (R_l \cdot V)$ とすると、 $\theta = \frac{1}{2}\alpha$ の関係がみることが知られる（同一平面上にないときも、 θ と α の差は小さいが、 $\theta = \frac{1}{2}\alpha$ に近い関係をもつ）、この結果、鏡面反射の中心点から離れたとき、輝度の下がり方が早くなることがわかり、理論的にも裏づけられる。したがって、式(16)を用いるのは適当である、式(15)の方が良いと考えられる。

5. まとめ

本研究では、カラー物体のハイライト付与、半透明物体の表示方式、金属材料の表現方法について検討した。これらに関しては基本的モデルの提唱とされているが、実際に表示する場合の成分値 (R, G, B) が必要となるため、これらの成分をモデルから導出した。また、導出結果に対して、表示装置の限られた能力を生かすために、いくつかの修正を提唱した。また、これらの結果に基づいて、実際に球の表示を行って、最適と思われたパラメータを主観的に求めた。導出結果は、各々の場合とも比較的簡単な計算で陰影値 (R, G, B) が求まるため実用上、有意義である。今後の問題としては、より良い材質の表示方式の検討、物体形状を変えたとき(球以外の、多面体、円柱、一般に円筒)の本文の結果の有効性の検討などがある。また、透明物体と本格的に表示するためには屈折効果が必要になると考えられるが、この効果も比較的簡単な計算で求める方法などが必要になるであろう。

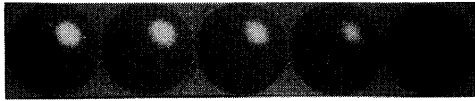
参考文献

- (1) Phong, B.T. : " Illumination for computer generated images", CACM, 18, 6 pp. 311-317 (1975)
- (2) Newell, M.E., Newell, R.G., Sancha, T.L. : " A new approach to the shaded picture problem ", Proc. ACM 1973, Nat. Conf. (1973)
- (3) Kay, D.S. and Greenberg, D. : " Transparency for computer synthesized images", Proc. SIGGRAPH 1979, pp. 158-164 (1979)
- (4) Blinn, J.F. : " Models of light reflection for computer synthesized pictures", Proc. SIGGRAPH 1977, pp. 192-198 (1977)
- (5) Cook, R.L., Torrance, K.E. : " A reflectance model for computer graphics", Proc. SIGGRAPH 1981, pp. 307-316 (1981)
- (6) 色彩科学ハンドブック, 日本色彩学会編, 東京大学出版会 (1980)



$n = 2 \quad 4 \quad 6 \quad 8 \quad 10 \quad 20 \quad 40 \quad 60 \quad 80 \quad 100$

図5. ハイライト斑のハイライトパラメータ n (式(4)) の影響



$w = 1 \quad 0.8 \quad 0.6 \quad 0.4 \quad 0.0$

図6 ハイライト強度パラメータ w (式(4)) の影響



$t_p = 0.0 \quad 0.5 \quad 1.0 \quad 1.5 \quad 2.0$

図8 透明度パラメータ t_p の影響 (式(8))
($t_h = 0.8$ のとき)



図10 金属表面材質感の表示 (1)

(式(12)に於て 光源は右上と左横方向)
と主光源 $a_0 = 1 \quad w_1 = 0.013 \quad m_1 = 0.2$
 $w_2 = 0.1 \quad m_2 = 0.4$

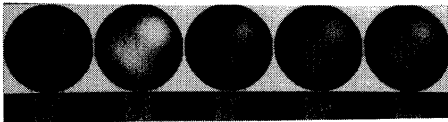


図11 金属表面材質感の表示 (2)

式(12)に於て 光源は右上(主光源) (図10と同様)
と左横及び下方向(副光源 $a_2 = 0.7, w_1 = 0.01, m_1 = 0.4$)
 $w_2 = 0$

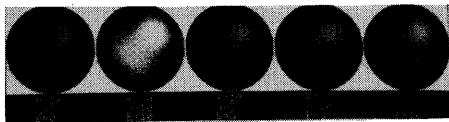
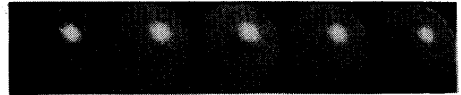
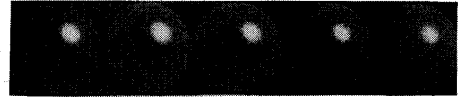


図12 金属表面材質感の表示 (3)

式(15)に於て 光源は右上(主光源),
 $a_2 = 1, m_2 = 13$) と副光源 ($a_2 = 0.4, m_2 = 8$)
(左横と下)



$t_h = 0.2 \quad 0.4 \quad 0.6 \quad 0.8 \quad 1.0$



$t_h = 0.2 \quad 0.4 \quad 0.6 \quad 0.8 \quad 1.0$

図17 透明度パラメータ t_h の影響 (式(8))
(上段 $t_p = 0$ 下段 $t_p = 0.5$ のとき)

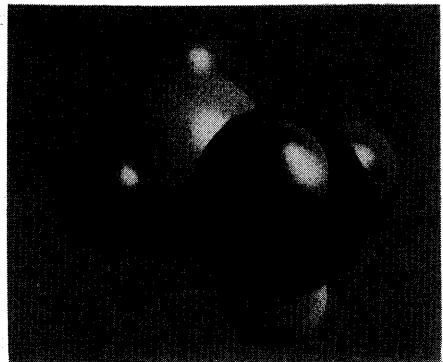


図9 不透明球と半透明球の合成図
(ハイライトパラメータ $w=1, n=10$)
(透明度パラメータ $t_h=0.8, t_p=1.0$)

表示例はすべて グラフィックM3055
(512x320ドット 解像度)
RGB各5ビット) に於て

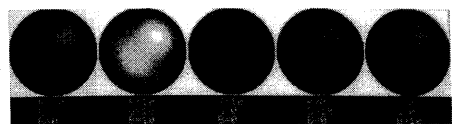


図13 金属表面材質感の表示 (4)

式(16)に於て 光源は主光源(右上),
($a_0 = 0.2, m_0 = 20$) + ($a_2 = 0.8, m_2 = 3$) と副光源
(左横と下) ($a_2 = 0.4, m_2 = 2$)

付録 金属表面での反射係数の各項の意味
(文献(4)より)

①. $D(\alpha)$

表面の小部分が微少面の集合からなることをいふ。各微少面全体の平均的方向は、表面の法線ベクトル N の方向を向いていふとする。微少面のうち、 N とある角度 α だけ傾いた方向をもつ微少面は、 α が大きくなるにしたがって減少する。こゝからある関数 $D(\alpha)$ にしたがる。すなわち、

入射光線 L に対して、視線方向 V へ反射した光は、 $L \times V$ の二等分ベクトル $H = \frac{1}{2}(L+V)$ の方向をもつ微少面のみにより反射する。すなわち、反射光の強度(強度)は、 $\alpha = (N \cdot H)$ に対し、関数 $D(\alpha)$ にしたがる。

関数 $D(\alpha)$ の形として、Blinn は $\frac{1}{2} e^{-2/m}$ とし、Cook の文献に依り、Beckmann 判別

$$D(m, \alpha) = \frac{1}{m^2 \cos^2 \alpha} e^{-\frac{\tan^2 \alpha}{m^2}} \quad (17)$$

の導みより $D(\alpha) = \sum_{j=1}^2 w_j D'(m_j, \alpha)$ とする。

② G_e 項

ある微少面に対し、隣接する微少面により、反射光の一部が遮られる効果をもたせたい。(微少面に対し、法線ベクトル N に対し、反対方向の微少面に隣接するということにより、導いていく。) この効果は L_e と V が逆の順序になつたときも生じる。次式が導かれる。

$$G_e = \min \left\{ 1, \frac{2(N \cdot H_e)(N \cdot V)}{(V \cdot H_e)}, \frac{2(N \cdot H_e)(N \cdot L_e)}{(V \cdot H_e)} \right\}, H_e = \frac{V+L_e}{\|V+L_e\|} \quad (18)$$

③ $(N \cdot V)$ 項

視線に対して、面が傾くほど同一視線に対して、見えた微少面の数が減少する。すなわち $(N \cdot V)$ に反比例する。

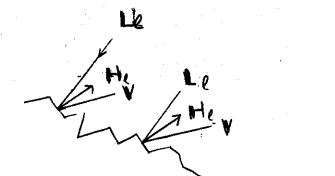
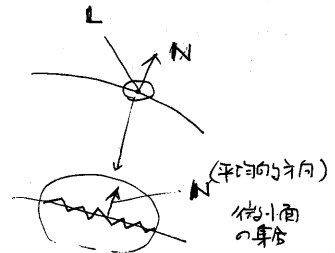
④. $F(\lambda, \theta)$ 項

滑らかな表面での入射光と反射光の比(波長 λ と入射角 θ の関数とみなす)を表わす。すなわち $\lambda < \lambda_c$ 知られていふようにフーリエの法則に従う。

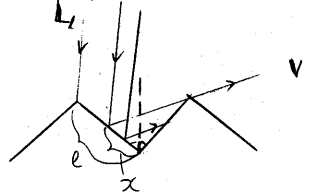
$$F = \frac{1}{2} \frac{(g-c)^2}{(g+c)^2} \left\{ 1 + \frac{(c(g+c)-1)^2}{(c(g-c)+1)^2} \right\} \quad (19)$$

$c = \cos \theta$ (θ : 入射角), $g^2 = n^2 + c^2 - 1$, n : 屈折率

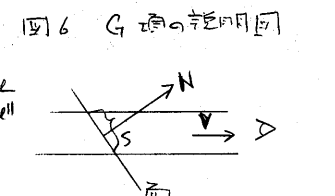
すなわち、 $\theta = 0$ のときの反射係数 $R(\lambda) = F(\lambda, 0) = F(1)$, $n = (1 - \sqrt{R_{\lambda 1}}) / (1 + \sqrt{R_{\lambda 1}})$ と式(19)に代入して求めらるが、計算が面倒なるので、本研究では、 $F(\lambda, \theta)$ (5) = $F(\lambda, 0)$ と仮定した。(θ が 90° に近くなる場合は仮想的に成立するとされている)



H 方向を向いた微少面のみが視線方向へ反射
図 5. D 項の説明図



α の部分に当り、入射光は隣接微少面へ反射せずして視線まで到達しない
 $\frac{L \cdot V}{L \cdot L} = 1$ 減少する。
図 6. G 項の説明図



面が傾くほど S が大きくなる
図 7. $(V \cdot N)$ 項の説明図